



TITLE:

A SELF-CONSISTENT TREATMENT OF HUBBARD MODEL FOR THE ANTIFERRO-MAGNETIC CASE

AUTHOR(S):

末崎, 幸生

CITATION:

末崎, 幸生. A SELF-CONSISTENT TREATMENT OF HUBBARD MODEL FOR THE ANTIFERRO-MAGNETIC CASE. 物性研究 1971, 15(4): 227-252

ISSUE DATE:

1971-01-20

URL:

<http://hdl.handle.net/2433/88194>

RIGHT:

A SELF-CONSISTENT TREATMENT OF HUBBARD MODEL FOR THE ANTIFERRO- MAGNETIC CASE

九大理 末 崎 幸 生

(12月8日受理)

§ 0. 序

強いクーロン相関エネルギーが働いているような電子系, 例えば遷移金属及びその酸化物等を表現するハミルトニアンとして Hubbard は所謂 Hubbard model^{1), 2)} を提唱した。

以来多くの理論的研究がこの相関問題についてなされ,³⁾ 一次元においては反強磁性的基底状態を持つ厳密解が Lieb と Wu⁴⁾ によって解かれた。然し2次元・3次元の場合には未だ解けていない。

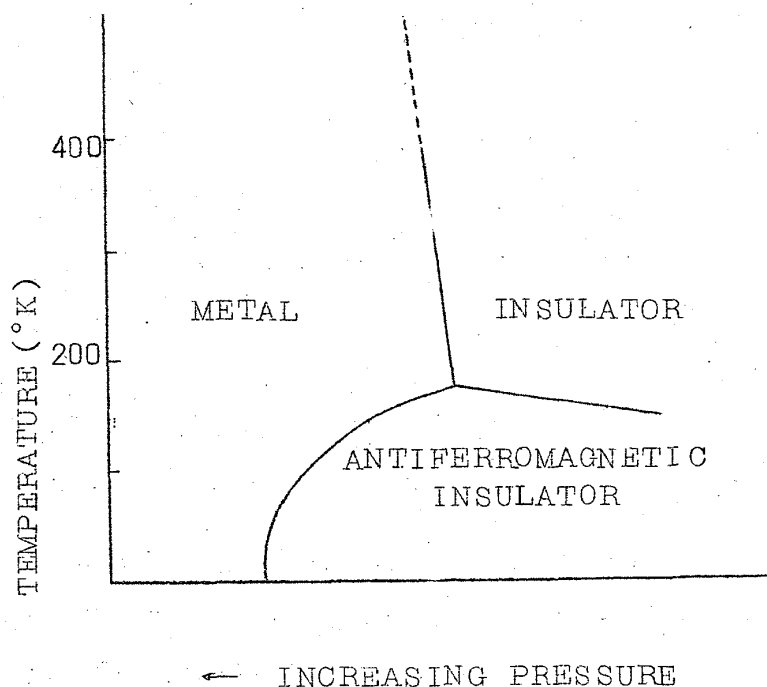
一方1969年にはベル研究所の実験グループが $(V_2O_3)_{1-x}M_x$ ($M = Cr, V$)¹²⁾ の合金系で第0図に示すような大変興味ある相図を発見している。即ちバンド巾と相関エネルギー U の比を変えていくと (圧力) 常磁性絶縁体, 金属, 反強磁性絶縁体の3相が存在し

うることである。従って

Hubbard Model がこの系の本質的性質を具現する候補として最有力であるとする立場から近年反強磁性的転移温度を理論的に計算した幾つかの例が発表されている。^{6), 7), 8)}

計算方法は各々異り, 有限温度の変分法, Ground State の波動関数を求める方法及び分配関数の特殊な求め方等である。

Hubbard は1価の物質で常



第0図

磁性的なとき第3論文²⁾で(以後HⅢと略記する)高次のGreen関数をDecoupleしてself-consistentな解を求め,バンド巾 Δ とクーロン斥力 U の比 Δ/U の関数として金属絶縁体間の2次の転移を示す解を得た。(第1図)然しこの解はHerringが指摘しているように⁹⁾Fermi面の異常に性質を持っており,又,運動量空間での1体の電子のスペクトルの明確な定義が出来ない。

このFermi面の異常な性質の困難を克服するため1個の物質の場合に反強磁性的Ground Stateを予想して,又bond alternationがある場合を含めてHubbardと類似の近似によって,self-consistentにGreen関数を数値的に求めることを試みたのでここに示す。結果は金属絶縁体転移は出るが,反強磁性的状態はこのやり方では出ないようだという否定的なものであるが,計算の過程で興味ある性質が顕われるため敢えて発表し,諸氏の参考にしていただき,理論の不備を御指摘願えれば幸である。

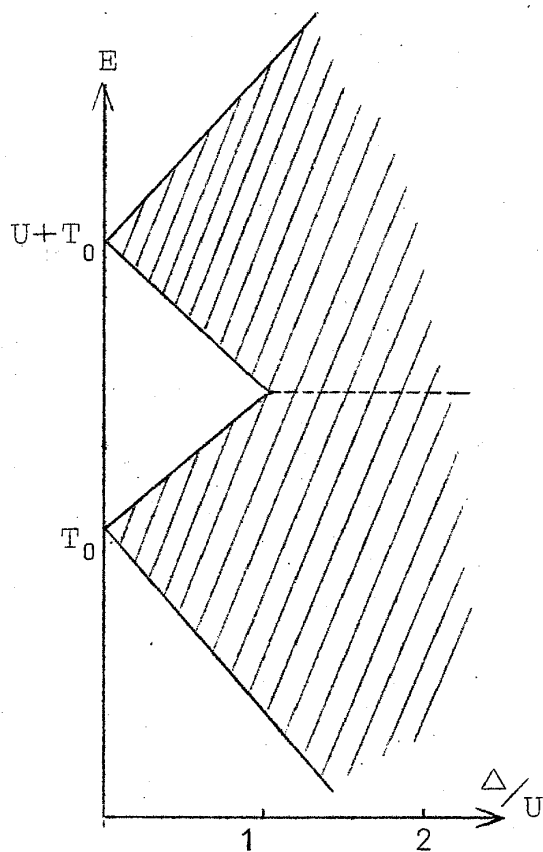
近似の骨子は同じsiteの相関及び最近接のスピン逆向きの反強磁性的相関を打ち切らないようにし,異なる3個のsite

にわたる相関は高次のものとして落とす。平均値は勿論,Green関数自身をself-consistentに求める高次のR.P.A.である。この計算を実行した^{6), 7), 8)}動機は反強磁性転移温度を求めた前述の計算が,HⅢのようにDynamicな量に関してself-consistentに解かれていないため,この事を追求する意義と必要があると考えたからである。

§1ではGreen関数の定義とその数が多いため略記号を導入した。

§2では近似とその具体的計算を述べた。

§3ではself-consistentな解を数値的に計算した結果を記述した。



第1図

A SELF-CONSISTENT TREATMENT OF HUBBARD MODEL
FOR THE ANTIFERRO-MAGNETIC CASE

§ 4 には結論と bond alternation に関する簡単な考察を述べた。

§ 1. 定式化と略記号の定義

系の Hamiltonian は反強磁性的 Ground State を予想して格子系を A, B-Sublattice に分け, 次の様に表わす。

$$(1) \quad H = \sum_{i\ell} \sum_{\sigma}^{\text{Nearest Nbr.}} t_{i\ell} (C_{i\sigma}^{A+} C_{\ell\sigma}^B + C_{\ell\sigma}^{B+} C_{i\sigma}^A) + \sum_i U n_{i\uparrow} n_{i\downarrow} \\ + \sum_{\ell} U n_{\ell\uparrow} n_{\ell\downarrow} - \mu \sum_i \sum_{\sigma} n_{i\sigma}^A - \mu \sum_{\ell} \sum_{\sigma} n_{\ell\sigma}^B .$$

ここで $C_{i\sigma}^A, C_{\ell\sigma}^B$ は各 A, B sublattice の i, ℓ site の σ spin の消滅演算子であり μ は Fermi エネルギーである。

2時間遅延 Green 関数を採用し求めるべき 1 体の Green 関数は

$$(2) \quad -i\theta(t) \langle [C_{i\uparrow}^A(t), C_{i\uparrow}^{A+}]_+ \rangle \equiv \ll C_{i\uparrow}^A(t); C_{i\uparrow}^{A+} \gg ,$$

と表わせる。ここで多くの Green 関数が出てくるので以下の略記を行う。

(2) の右辺の時刻 0 の部分には以下全て $C_{i\uparrow}^{A+}$ があるものとして (2) の Fourier 変換を

$$(2)' \quad \ll C_{i\uparrow}^A; C_{i\uparrow}^{A+} \gg \equiv \langle i| \rangle ,$$

と表わす。又 site の記号は i, m を A-sublattice ℓ, n を B-sublattice のものとして採用して A, B の記号は省略する。運動を追う Green 関数の略記号を第一表に示しておくが, 第一表で段を区切ったのはその hierarchy の段階を示す。

次に平均値は

$$(3) \quad \langle n_{i\uparrow}^A \rangle = \langle n_{\ell\downarrow}^B \rangle \equiv \alpha , \quad \langle n_{i\downarrow}^A \rangle = \langle n_{\ell\uparrow}^B \rangle \equiv r ,$$

$$(4) \quad \alpha - r = \sigma , \quad (\alpha + r = 1) ,$$

のように略記する。

第一 表

Level 0	$\ll C_{i\uparrow}^A; C_{i'\uparrow}^{A+} \gg = \langle i l \rangle$ $\ll C_{\ell\uparrow}^B; C_{i'\uparrow}^{A+} \gg = \langle \ell l \rangle$		$\ll (n_{i\downarrow}^A n_{\ell\downarrow}^B - \alpha r) C_{\ell\uparrow}^B; C_{i'\uparrow}^{A+} \gg = \langle i\ell\ell \rangle$ $\ll (n_{\ell\downarrow}^B n_{i\downarrow}^A - \alpha r) C_{i\uparrow}^A; C_{i'\uparrow}^{A+} \gg = \langle \ell i i \rangle$
Level 1	$\ll (n_{i\downarrow}^A - r) C_{i\uparrow}^A; C_{i'\uparrow}^{A+} \gg = \langle i i l \rangle$ $\ll (n_{\ell\downarrow}^B - \alpha) C_{\ell\uparrow}^B; C_{i'\uparrow}^{A+} \gg = \langle \ell \ell l \rangle$		$\ll (n_{i\downarrow}^A - r) C_{m\uparrow}^A; C_{i'\uparrow}^{A+} \gg = \langle i m l \rangle$ $\ll (n_{\ell\downarrow}^B - \alpha) C_{n\uparrow}^B; C_{i'\uparrow}^{A+} \gg = \langle \ell n l \rangle$
Level 2	$\ll (n_{i\downarrow}^A - r) C_{\ell\uparrow}^B; C_{i'\uparrow}^{A+} \gg = \langle i \ell l \rangle$ $\ll (n_{\ell\downarrow}^B - \alpha) C_{i\uparrow}^A; C_{i'\uparrow}^{A+} \gg = \langle \ell i l \rangle$ $\ll C_{i\downarrow}^{A+} C_{\ell\downarrow}^B; C_{i'\uparrow}^A; C_{i'\uparrow}^{A+} \gg = \langle i \ell i l \rangle$ $\ll C_{\ell\downarrow}^{B+} C_{i\downarrow}^A; C_{i'\uparrow}^A; C_{i'\uparrow}^{A+} \gg = \langle \ell i i l \rangle$ $\ll C_{i\downarrow}^{A+} C_{i\downarrow}^B; C_{i'\uparrow}^A; C_{i'\uparrow}^{A+} \gg = \langle i i m l \rangle$ $\ll C_{i\downarrow}^{A+} C_{\ell\downarrow}^B; C_{i'\uparrow}^A; C_{i'\uparrow}^{A+} \gg = \langle i \ell n n l \rangle$	Level 3	$\ll C_{i\downarrow}^{A+} C_{m\downarrow}^A; C_{i'\uparrow}^A; C_{i'\uparrow}^{A+} \gg = \langle i m i l \rangle$ $\ll C_{m\downarrow}^{A+} C_{i\downarrow}^A; C_{i'\uparrow}^A; C_{i'\uparrow}^{A+} \gg = \langle m i i l \rangle$ $\ll C_{\ell\downarrow}^{B+} C_{n\downarrow}^B; C_{i'\uparrow}^A; C_{i'\uparrow}^{A+} \gg = \langle \ell n \ell l \rangle$ $\ll C_{n\downarrow}^{B+} C_{\ell\downarrow}^B; C_{i'\uparrow}^A; C_{i'\uparrow}^{A+} \gg = \langle n \ell \ell l \rangle$ $\ll (n_{i\downarrow}^A n_{m\downarrow}^A - r^2) C_{m\uparrow}^A; C_{i'\uparrow}^{A+} \gg = \langle i m m l \rangle$ $\ll (n_{\ell\downarrow}^B n_{n\downarrow}^B - \alpha^2) C_{n\uparrow}^B; C_{i'\uparrow}^{A+} \gg = \langle \ell n n l \rangle$

A SELF-CONSISTENT TREATMENT OF HUBBARD MODEL FOR THE ANTIFERRO-MAGNETIC CASE

単純立方格子を想定すると Bond alternation は (1) 式の transfer integral t_{ij} が交互に大きさを交えるという効果を取り入れることにより考慮出来るが、このやり方は Narrow Band の物質については Adler と Brooks¹⁰⁾ の格子 potential を変化させるモデルより、より物理的に妥当ではないかと考えられる。この事については後に触れる。

§ 2. 近似と具体的計算

§ 1 で定義した Green 関数を具体的に計算の実行に移る。運動方程式

$$\omega \langle 0 | \rangle = \langle [0, c_{i'\uparrow}^{A+}]_+ \rangle + \langle [0, H] | \rangle,$$

に従って先づ

$$(5) \quad \omega \langle i | \rangle = \delta_{ii'} + U \langle n_{i\downarrow} c_{i\uparrow} | \rangle + \sum_{\ell} t_{i\ell} \langle \ell | \rangle,$$

$$(6) \quad \omega \langle \ell | \rangle = U \langle n_{\ell\downarrow} c_{\ell\uparrow} | \rangle + \sum_i t_{\ell i} \langle i | \rangle,$$

$$(7) \quad \begin{aligned} \omega \langle n_{i\downarrow} c_{i\uparrow} | \rangle &= r \delta_{ii'} + U \langle n_{i\downarrow} c_{i\uparrow} | \rangle \\ &+ \sum_{\ell} t_{i\ell} [\langle n_{i\downarrow} c_{\ell\uparrow} | \rangle + \langle i\ell i | \rangle - \langle \ell i i | \rangle], \end{aligned}$$

$$(8) \quad \begin{aligned} \omega \langle n_{\ell\downarrow} c_{\ell\uparrow} | \rangle &= U \langle n_{\ell\downarrow} c_{\ell\uparrow} | \rangle \\ &+ \sum_i t_{\ell i} [\langle n_{\ell\downarrow} c_{i\uparrow} | \rangle + \langle \ell i \ell | \rangle - \langle i \ell \ell | \rangle]. \end{aligned}$$

(5) (6) 及び第一表より

$$(5)' \quad (\omega - rU) \langle i | \rangle = \delta_{ii'} + U \langle i i | \rangle + \sum_{\ell} t_{i\ell} \langle \ell | \rangle,$$

$$(6)' \quad (\omega - \alpha U) \langle \ell | \rangle = U \langle \ell \ell | \rangle + \sum_i t_{\ell i} \langle i | \rangle.$$

(7) - (1) $\times r$ (8) - (2) $\times \alpha$ より

$$(7)' \quad \begin{aligned} (\omega - \alpha U) \langle i i | \rangle &= \alpha r U \langle i | \rangle \\ &+ \sum_{\ell} t_{i\ell} \{ \langle i \ell | \rangle + \langle i \ell i | \rangle - \langle \ell i i | \rangle \}, \end{aligned}$$

$$(8)' \quad \begin{aligned} (\omega - rU) \langle \ell \ell | \rangle &= \alpha r U \langle \ell | \rangle \\ &+ \sum_i t_{\ell i} \{ \langle \ell i | \rangle + \langle \ell i \ell | \rangle - \langle i \ell \ell | \rangle \}. \end{aligned}$$

(5)' ~ (8)' は勿論近似のない厳密な式である。

(7)', (8)' の右辺の最後の $\{\dots\}$ の項の新たな Green 関数の運動を追うとき Hubbard が H III で実行したように Scattering correction (SC) と Resonance Broadening correction (RBC) という概念を導入して近似する。即ち \uparrow -spin の電子の運動を追う $\langle i\ell |$, $\langle \ell i |$ については $t_{i\ell} c_{i\uparrow}^{A+} c_{\ell\uparrow}^B$, $t_{\ell i} c_{\ell\uparrow}^{B+} c_{i\uparrow}^A$ との交換関係のみとり $\langle i\ell i |$ 他については \downarrow -spin 電子に関するもののみとる。序にも述べたように H III の方法を直接に用いないのは A, B sublattice の逆向きスピンの相関を hierarchy の低次の段階で打ち切る恐れがあるためである。

先づ $\langle i\ell |$ に対する運動方程式を求める。

$$(9) \quad \omega \langle n_{i\downarrow} c_{\ell\uparrow} | \rangle = U \langle n_{i\downarrow} n_{\ell\downarrow} c_{\ell\uparrow} | \rangle + \sum t_{\ell m} \langle n_{i\downarrow} c_{m\uparrow} | \rangle + (\text{other terms}),$$

(9) - (6) $\times r$ より

$$(9)' \quad \begin{aligned} \omega \langle i\ell | \rangle &= U \langle n_{i\downarrow} n_{\ell\downarrow} c_{\ell\uparrow} | \rangle - rU \langle n_{\ell\downarrow} c_{\ell\uparrow} | \rangle \\ &\quad + t_{\ell i} \langle i i | \rangle + \sum'_{m(\neq i)} t_{\ell m} \langle i m | \rangle, \\ &= U \langle i \tilde{\ell} \ell | \rangle - rU \langle \ell \ell | \rangle + t_{\ell i} \langle i i | \rangle + \sum'_{m(\neq i)} t_{\ell m} \langle i m | \rangle \end{aligned}$$

を得るが、新たな $\langle n_{i\downarrow} n_{\ell\downarrow} c_{\ell\uparrow} | \rangle$ については

$$(10) \quad \omega \langle n_{i\downarrow} n_{\ell\downarrow} c_{\ell\uparrow} | \rangle = U \langle n_{i\downarrow} n_{\ell\downarrow} c_{\ell\uparrow} | \rangle + \sum t_{\ell m} \langle n_{i\downarrow} n_{\ell\downarrow} c_{m\uparrow} | \rangle.$$

ここで $\langle n_{i\downarrow} n_{\ell\downarrow} c_{m\uparrow} | \rangle \cong \alpha \langle n_{i\downarrow} c_{m\uparrow} | \rangle + r \langle n_{\ell\downarrow} c_{m\uparrow} | \rangle$, と近似して (10) - $\alpha r \times (6)$ をとると

$$(10)' \quad \begin{aligned} (\omega - U) \langle i \tilde{\ell} \ell | \rangle &= -\alpha r U \langle \ell \ell | \rangle + \alpha r^2 U \langle \ell | \rangle + \alpha t_{\ell i} \langle i i | \rangle \\ &\quad + \alpha \sum'_{m(\neq i)} t_{\ell m} \langle i m | \rangle + r \sum_m t_{\ell m} \langle \ell m | \rangle + \alpha r \sum_m t_{\ell m} \langle m | \rangle. \end{aligned}$$

同様の近似で

A SELF-CONSISTENT TREATMENT OF HUBBARD MODEL
FOR THE ANTIFERRO-MAGNETIC CASE

$$(11) \quad \omega \langle l i l \rangle = U \langle \widetilde{l i i l} \rangle - \alpha U \langle i i l \rangle + t_{i l} \langle l l l \rangle + \sum' t_{i n} \langle l n l \rangle,$$

$$(12) \quad (\omega - U) \langle \widetilde{l i i l} \rangle = -\alpha r U \langle i i l \rangle + \alpha^2 r U \langle i l \rangle + r t_{i l} \langle l l l \rangle \\ + r \sum'_{n(\neq l)} t_{i n} \langle l n l \rangle + \alpha \sum_n t_{i n} \langle i n l \rangle \\ + \alpha r \sum_n t_{i n} \langle n l \rangle.$$

次に $\langle i l i l \rangle$ 等に対する運動を追うが、再びここで次の略記号を導入して式を簡潔に表現する。

$$(13) \quad \langle i l \rangle = \langle c_{i \downarrow}^{A+} c_{l \downarrow}^B \rangle = \langle l i \rangle = \langle c_{l \downarrow}^{B+} c_{i \downarrow}^A \rangle,$$

$$(14) \quad \langle i m \rangle = \langle c_{i \downarrow}^{A+} c_{m \downarrow}^A \rangle = \langle c_{m \downarrow}^{A+} c_{i \downarrow}^A \rangle = \langle m i \rangle.$$

ここで $\langle c_{n \downarrow}^{B+} c_{l \downarrow}^B c_{i \uparrow}^A \rangle$ ($n \neq l$) 等 3 個の異なる site の相関を含む項を無視し $\langle i l i l \rangle$ 等の運動を追う段階で出てくる $\langle n_{l \downarrow}^B c_{i \uparrow}^A l \rangle$ は $\rightarrow \alpha \langle i l \rangle$ と近似することにする。(SC, RBC の近似の精神と consistent である) この結果次の式を得る。

$$(15) \quad \omega \langle i l i l \rangle = \delta_{i i} \langle i l \rangle + U \langle n_{l \uparrow} c_{i \downarrow}^{A+} c_{l \downarrow}^B c_{i \uparrow}^A l \rangle \\ + t_{l i} (\langle i i l \rangle - \sigma \langle i l \rangle) + \sum'_{m(\neq i)} t_{l m} \langle i m i l \rangle,$$

$$(16) \quad (\omega - U) \langle l i i l \rangle = \delta_{i i} \langle l i \rangle - U \langle n_{l \uparrow} c_{l \downarrow}^{A+} c_{i \downarrow}^B c_{i \uparrow}^A l \rangle \\ - t_{l i} (\langle i i l \rangle - \sigma \langle i l \rangle) - \sum'_{m(\neq i)} t_{l m} \langle m i i l \rangle,$$

$$(17) \quad \omega \langle l i l l \rangle = U \langle c_{l \downarrow}^{A+} n_{i \uparrow} c_{i \downarrow}^B c_{l \uparrow}^A l \rangle \\ + t_{i l} (\langle l l l \rangle + \sigma \langle l l \rangle) + \sum'_{n(\neq l)} t_{i n} \langle l n l l \rangle,$$

$$(18) \quad (\omega - U) \langle i l l l \rangle = -U \langle n_{i \uparrow} c_{i \downarrow}^{A+} c_{l \downarrow}^B c_{l \uparrow}^A l \rangle \\ - t_{i l} (\langle l l l \rangle + \sigma \langle l l \rangle) - \sum'_{n(\neq l)} t_{i n} \langle n l l l \rangle.$$

容易に気が付くように (9)' 式以来 $\sum'_{m(\neq i)}$ 等のように和に制限を加えたのは

例えば $\langle iml \rangle$ で $m=i$ と $m \neq i$ とでは Green 関数の hierarchy の段階が異り本質的に異なる関数だからである。さて (15) ~ (18) で出てきた $\langle n_{\ell\uparrow} c_{i\downarrow}^+ c_{\ell\downarrow} c_{i\uparrow} \rangle$ の運動を追う段階でかなり荒い近似を実行するが、それを次に実行する。

$$(19) \quad (\omega - U) \langle n_{\ell\uparrow} c_{i\downarrow}^+ c_{\ell\downarrow} c_{i\uparrow} \rangle = \delta_{ii'} \langle n_{\ell\uparrow} c_{i\downarrow}^+ c_{\ell\downarrow} \rangle + \sum t_{\ell m} \langle n_{\ell\uparrow} c_{i\downarrow}^+ c_{m\downarrow} c_{i\uparrow} \rangle - \sum t_{in} \langle n_{\ell\uparrow} c_{n\downarrow}^+ c_{\ell\downarrow} c_{i\uparrow} \rangle$$

$$\text{ここで } \langle n_{\ell\uparrow} c_{i\downarrow}^+ c_{\ell\downarrow} \rangle \cong r \langle il \rangle$$

$$\langle n_{\ell\uparrow} c_{i\downarrow}^+ c_{m\downarrow} c_{i\uparrow} \rangle \cong r \langle imil \rangle \quad \langle n_{\ell\uparrow} c_{n\downarrow}^+ c_{\ell\downarrow} c_{i\uparrow} \rangle \cong r \langle n\ell il \rangle,$$

と decouple すると (19) は

$$(19)' \quad (\omega - U) \langle n_{\ell\uparrow} c_{i\downarrow}^+ c_{\ell\downarrow} c_{i\uparrow} \rangle = r \delta_{ii'} \langle il \rangle + r t_{\ell i} (\langle iil \rangle - \sigma \langle il \rangle) + r \sum'_{m(\neq i)} t_{\ell m} \langle imil \rangle,$$

同様にして,

$$(20) \quad \omega \langle n_{\ell\uparrow} c_{\ell\downarrow}^+ c_{i\downarrow} c_{i\uparrow} \rangle = r \delta_{ii'} \langle \ell i \rangle - r t_{\ell i} (\langle iil \rangle - \sigma \langle il \rangle) - r \sum'_{m(\neq i)} t_{\ell m} \langle m i i l \rangle,$$

$$(21) \quad (\omega - U) \langle c_{\ell\downarrow}^+ n_{i\uparrow} c_{i\downarrow} c_{\ell\uparrow} \rangle = \delta_{ii'} \langle c_{\ell\downarrow}^+ c_{\ell\uparrow} c_{i\uparrow} c_{i\downarrow} \rangle + \alpha t_{i\ell} (\langle \ell \ell l \rangle + \sigma \langle \ell l \rangle) + \alpha \sum'_{n(\neq \ell)} t_{in} \langle \ell n \ell l \rangle,$$

$$(22) \quad \omega \langle n_{i\uparrow} c_{i\downarrow}^+ c_{\ell\downarrow} c_{\ell\uparrow} \rangle = \delta_{ii'} \langle c_{i\uparrow}^+ c_{i\downarrow}^+ c_{\ell\downarrow} c_{\ell\uparrow} \rangle - \alpha t_{i\ell} (\langle \ell \ell l \rangle + \sigma \langle \ell l \rangle) - \alpha \sum'_{n(\neq \ell)} t_{in} \langle n \ell \ell l \rangle.$$

同じ site の相関を無視するという事が起ったが、これ以外の方法では compact にまとまらず、さし当りこの近似による結果をみることにする。ここで (10)', (12) を (9)', (11) ~ (19)' ~ (22) を (15) ~ (18) へ代入

A SELF-CONSISTENT TREATMENT OF HUBBARD MODEL
FOR THE ANTIFERRO-MAGNETIC CASE

して整理すると次を得る。

$$(23) \quad \langle i\ell\ell | \rangle = \frac{1}{H} \left\{ -rU(\omega - rU) \langle \ell\ell\ell | \rangle + (\omega - rU) t_{\ell i} \langle i i i | \rangle \right. \\ \left. + \alpha r^2 U^2 \langle \ell | \rangle + (\omega - rU) \sum'_{m(\neq i)} t_{\ell m} \langle i m | \rangle \right. \\ \left. + rU \sum_m t_{\ell m} \langle \ell m | \rangle + \alpha rU \sum_m t_{\ell m} \langle m | \rangle \right\},$$

$$(24) \quad \langle \ell i i | \rangle = \frac{1}{H} \left\{ -\alpha U(\omega - \alpha U) \langle i i i | \rangle + (\omega - \alpha U) t_{i \ell} \langle \ell \ell \ell | \rangle \right. \\ \left. + \alpha^2 r U^2 \langle i | \rangle + (\omega - \alpha U) \sum'_{n(\neq \ell)} t_{i n} \langle \ell n | \rangle \right. \\ \left. + \alpha U \sum_n t_{i n} \langle i n | \rangle + \alpha r U \sum_n t_{i n} \langle n | \rangle \right\},$$

$$(25) \quad \langle i \ell i | \rangle = \left(\frac{\omega - \alpha U}{H} \right) \left\{ \delta_{i i'} \langle i \ell \rangle + t_{\ell i} (\langle i i | \rangle - \sigma \langle i | \rangle) \right. \\ \left. + \sum'_{m(\neq i)} t_{\ell m} \langle i m | \rangle \right\},$$

$$(26) \quad \langle \ell i i | \rangle = \left(\frac{\omega - rU}{H} \right) \left\{ \delta_{i i'} \langle \ell i \rangle - t_{\ell i} (\langle i i | \rangle - \sigma \langle i | \rangle) \right. \\ \left. - \sum'_{m(\neq i)} t_{\ell m} \langle m i i | \rangle \right\},$$

$$(27) \quad \langle \ell i \ell | \rangle = \left(\frac{\omega - rU}{H} \right) \left\{ t_{i \ell} (\langle \ell \ell \ell | \rangle + \sigma \langle \ell | \rangle) + \sum'_{n(\neq \ell)} t_{i n} \langle \ell n \ell | \rangle \right\},$$

$$(28) \quad \langle i \ell \ell | \rangle = - \left(\frac{\omega - \alpha U}{H} \right) \left\{ t_{i \ell} (\langle \ell \ell \ell | \rangle + \sigma \langle \ell | \rangle) + \sum'_{n(\neq \ell)} t_{i n} \langle \ell n \ell | \rangle \right\}.$$

但し,

$$(29) \quad H = \omega(\omega - U)$$

とおいた。

(23) ~ (28) の右辺で例えば (23) の $\langle i m | \rangle$ と左辺の $\langle i \ell | \rangle$ とは異質の関数であることは第一表を参照すれば直ちに理解できるが、これは明らかに sublattice に分割して反強磁性的状態を意識して抽出しているために残る項である。これら新しい Green 関数 $\langle i m | \rangle$, $\langle \ell n | \rangle$, $\langle i m i | \rangle$, $\langle m i i | \rangle$, $\langle \ell n \ell | \rangle$ 及び $\langle n \ell \ell | \rangle$ の 6 項に対する運動方程式を立てると

Appendix A でこれを実行したが、この近似で閉じた式を得る。Appendix A の結果を (23) ~ (28) に代入して整理すると次のようになる。

$$(30) \quad F^2 = (\omega - \alpha U)(\omega - rU), \quad T_{\ell n} = \sum_{m(\neq i)} t_{\ell m} t_{mn}, \quad T_{im} = \sum_{n(\neq \ell)} t_{in} t_{nm},$$

といて、

$$(31) \quad \begin{aligned} \langle i\ell\ell \rangle &= \left(\frac{\omega - rU}{H}\right) t_{\ell i} \langle i\ell\ell \rangle + \left(\frac{F}{H}\right)^2 \sum_n T_{\ell n} \langle in\ell \rangle \\ &+ \frac{1}{H^2} \{ -rU(\omega - rU)H \langle \ell\ell\ell \rangle + \alpha r^2 U^2 H \langle \ell\ell \rangle \\ &- rUF^2 \sum_m t_{\ell m} \langle m\ell\ell \rangle + \alpha rU(\omega^2 - \alpha U\omega - r^2 U^2) \sum_m t_{\ell m} \langle m\ell \rangle \\ &+ r^2 U(\omega - rU) \sum_{mn} t_{\ell m} t_{mn} \langle n\ell \rangle \}, \end{aligned}$$

$$(32) \quad \begin{aligned} \langle \ell i\ell \rangle &= \left(\frac{\omega - \alpha U}{H}\right) t_{i\ell} \langle \ell\ell\ell \rangle + \left(\frac{F}{H}\right)^2 \sum T_{im} \langle \ell m\ell \rangle \\ &+ \frac{1}{H^2} \{ -\alpha U(\omega - \alpha U)H \langle i\ell\ell \rangle + \alpha^2 rU^2 H \langle i\ell \rangle \\ &- \alpha UF^2 \sum_n t_{in} \langle n\ell\ell \rangle + \alpha rU(\omega^2 - rU\omega - \alpha^2 U^2) \sum_n t_{in} \langle n\ell \rangle \\ &+ \alpha^2 U(\omega - \alpha U) \sum_{mn} t_{in} t_{nm} \langle m\ell \rangle \}, \end{aligned}$$

$$(33) \quad \begin{aligned} \langle i\ell i\ell \rangle &= \left(\frac{\omega - \alpha U}{H}\right) [\delta_{ii} \langle i\ell \rangle + t_{\ell i} (\langle i\ell\ell \rangle - \sigma \langle i\ell \rangle)] \\ &+ \left(\frac{F}{H}\right)^2 \sum_{m(\neq i)} t_{\ell m} \langle im \rangle \delta_{ii} + \left(\frac{F}{H}\right)^2 \sum_n T_{\ell n} \langle in i\ell \rangle, \end{aligned}$$

$$(34) \quad \begin{aligned} \langle \ell i i\ell \rangle &= \left(\frac{\omega - rU}{H}\right) [\delta_{ii} \langle \ell i \rangle - t_{\ell i} (\langle i\ell\ell \rangle - \sigma \langle i\ell \rangle)] \\ &- \left(\frac{F}{H}\right)^2 \sum_{m(\neq i)} t_{\ell m} \langle m i \rangle \delta_{ii} + \left(\frac{F}{H}\right)^2 \sum_n T_{\ell n} \langle n i i\ell \rangle, \end{aligned}$$

$$(35) \quad \langle \ell i \ell\ell \rangle = \left(\frac{\omega - rU}{H}\right) t_{i\ell} [\langle \ell\ell\ell \rangle + \sigma \langle \ell\ell \rangle] + \left(\frac{F}{H}\right)^2 \sum_m T_{im} \langle \ell m\ell \rangle,$$

$$(36) \quad \langle i\ell\ell\ell \rangle = -\left(\frac{\omega - \alpha U}{H}\right) t_{i\ell} [\langle \ell\ell\ell \rangle + \sigma \langle \ell\ell \rangle] + \left(\frac{F}{H}\right)^2 \sum_m T_{im} \langle m\ell\ell \rangle.$$

さて (30) 式の定義において $T_{\ell n} = \sum_{m(\neq i)} t_{\ell m} t_{mn}$ の $m(\neq i)$ の制限を取り除いて格子の和についてたたみ込みの形に書くことにする。このため (31), (32) 式の右辺の $\{ \dots \}$ の部分を全て残しておく項の数え過ぎになる。し

A SELF-CONSISTENT TREATMENT OF HUBBARD MODEL
FOR THE ANTIFERRO-MAGNETIC CASE

かも (31), (32) 式の右辺の $\{ \dots \}$ のある割合が数え過ぎていることを確かめることが出来るが, 正確にこの割合を評価できぬ以上, このままの形で残しておくのは危険であるし, 数段の複雑さを増すことも確められるためこの項をおとす。すると解くべき式は次のようになる。

$$(31)' \quad \langle i l l \rangle = \left(\frac{\omega - rU}{H} \right) t_{\ell i} \langle i i l \rangle + \left(\frac{F}{H} \right)^2 \sum_{mn} t_{\ell m} t_{mn} \langle i n l \rangle,$$

$$(32)' \quad \langle l i l \rangle = \left(\frac{\omega - \alpha U}{H} \right) t_{i \ell} \langle l l l \rangle + \left(\frac{F}{H} \right)^2 \sum_{nm} t_{i n} t_{nm} \langle l m l \rangle,$$

$$(33)' \quad \langle i l i l \rangle = \left(\frac{\omega - \alpha U}{H} \right) [\delta_{ii'} \langle i l \rangle + t_{\ell i} (\langle i i l \rangle - \sigma \langle i l \rangle)] \\ + \left(\frac{F}{H} \right)^2 \sum_{m(\neq i)} t_{\ell m} \langle i m \rangle \delta_{ii'} + \left(\frac{F}{H} \right)^2 \sum_{mn} t_{\ell m} t_{mn} \langle i n i l \rangle,$$

$$(34)' \quad \langle l i i l \rangle = \left(\frac{\omega - rU}{H} \right) [\delta_{ii'} \langle l i \rangle - t_{\ell i} (\langle l i l \rangle - \sigma \langle i l \rangle)] \\ - \left(\frac{F}{H} \right)^2 \sum_{m(\neq i)} t_{\ell m} \langle m i \rangle \delta_{ii'} + \left(\frac{F}{H} \right)^2 \sum_{mn} t_{\ell m} t_{mn} \langle n i i l \rangle,$$

$$(35)' \quad \langle l i l l \rangle = \left(\frac{\omega - rU}{H} \right) t_{i \ell} [\langle l l l \rangle + \sigma \langle l l \rangle] \\ + \left(\frac{F}{H} \right)^2 \sum_{nm} t_{i n} t_{nm} \langle l m l l \rangle,$$

$$(36)' \quad \langle i l l l \rangle = - \left(\frac{\omega - \alpha U}{H} \right) t_{i \ell} [\langle l l l \rangle + \sigma \langle l l \rangle] \\ + \left(\frac{F}{H} \right)^2 \sum_{nm} t_{i n} t_{nm} \langle m l l l \rangle.$$

(31)' ~ (36)' は

$$(37) \quad \mathcal{S}_{\ell n} = \frac{1}{N} \sum_{\underline{k}} \frac{e^{i \underline{k} \cdot \underline{R}_{\ell n}}}{\left(\frac{F}{H} \right)^2 - \epsilon_{\underline{k}}^2},$$

$$(38) \quad \mathcal{S}_{i m} = \frac{1}{N} \sum_{\underline{k}} \frac{e^{i \underline{k} \cdot \underline{R}_{i m}}}{\left(\frac{F}{H} \right)^2 - \epsilon_{\underline{k}}^2},$$

$$\text{但し, } \epsilon_{\underline{k}} = \sum_{\ell} t_{i \ell} e^{i \underline{k} \cdot \underline{R}_{i \ell}},$$

なる \mathcal{G} を導入すると HII と同じような方法で解くことが出来ることは Appendix B に示したので、その結果を用いると次のようにまとまる。

$$(39) \quad \langle i\ell\ell \rangle = \left(\frac{H}{\omega - \alpha U} \right) \sum_n \mathcal{G}_{\ell n} t_{ni} \langle i\ell\ell \rangle,$$

$$(40) \quad \langle \ell i\ell \rangle = \left(\frac{H}{\omega - rU} \right) \sum_m \mathcal{G}_{im} t_{m\ell} \langle \ell\ell\ell \rangle,$$

$$(41) \quad \langle i\ell i\ell \rangle = \left(\frac{H}{\omega - rU} \right) \sum_n \mathcal{G}_{\ell n} t_{ni} [\langle i\ell\ell \rangle - \sigma \langle i\ell \rangle] \\ + \delta_{ii'} \sum_n \mathcal{G}_{\ell n} \left\{ \left(\frac{H}{\omega - rU} \right) \langle in \rangle + \sum_{m \neq i} t_{nm} \langle im \rangle \right\},$$

$$(42) \quad \langle \ell i i\ell \rangle = - \left(\frac{H}{\omega - \alpha U} \right) \sum_n \mathcal{G}_{\ell n} t_{ni} [\langle i\ell\ell \rangle - \sigma \langle i\ell \rangle] \\ + \delta_{ii'} \sum_n \mathcal{G}_{\ell n} \left\{ \left(\frac{H}{\omega - \alpha U} \right) \langle ni \rangle - \sum_{m \neq i} t_{nm} \langle mi \rangle \right\},$$

$$(43) \quad \langle \ell i\ell\ell \rangle = \left(\frac{H}{\omega - \alpha U} \right) \sum_m \mathcal{G}_{im} t_{m\ell} [\langle \ell\ell\ell \rangle + \sigma \langle \ell\ell \rangle],$$

$$(44) \quad \langle i\ell\ell\ell \rangle = - \left(\frac{H}{\omega - rU} \right) \sum_m \mathcal{G}_{im} t_{m\ell} [\langle \ell\ell\ell \rangle + \sigma \langle \ell\ell \rangle].$$

(39) ~ (44) を (7)' , (8)' に代入すること

$$(45) \quad \Omega_1 = \left(\frac{H}{\omega - \alpha U} \right) \sum_{il} t_{il} \mathcal{G}_{\ell n} t_{ni}, \quad \Omega_2 = \left(\frac{H}{\omega - rU} \right) \sum_{il} t_{il} \mathcal{G}_{\ell n} t_{ni},$$

$$(46) \quad \Omega_A = 2\Omega_1 + \Omega_2, \quad \Omega_B = 2\Omega_2 + \Omega_1,$$

と整理して次の様になる。

$$(47) \quad (\omega - \alpha U - \Omega_A) \langle i\ell\ell \rangle = [\alpha rU - \sigma(\Omega_1 + \Omega_2)] \langle i\ell \rangle \\ + \delta_{ii'} \sum_{il} t_{il} \mathcal{G}_{il} \left\{ 2 \sum_{m \neq i} t_{nm} \langle mi \rangle - \frac{\sigma U H}{F^2} \langle ni \rangle \right\}$$

$$(48) \quad (\omega - rU - \Omega_B) \langle \ell\ell\ell \rangle = [\alpha rU + \sigma(\Omega_1 + \Omega_2)] \langle \ell\ell \rangle.$$

ここで (47) 式の右辺の第 2 項を検討してみよう。まず、

$$\sum_{\ell n m \neq i} t_{il} \mathcal{G}_{\ell n} t_{nm} \langle mi \rangle = \sum_{\ell n m} t_{il} \mathcal{G}_{\ell n} t_{nm} \langle c_{m\downarrow}^{A\dagger} c_{i\downarrow}^A \rangle - r \sum_{il} t_{il} \mathcal{G}_{\ell n} t_{ni}$$

$$= \int d\epsilon_k \rho(\epsilon_k) \epsilon_k^2 [\langle n_{k\downarrow}^A \rangle - r] \mathcal{G}(\epsilon_k, \omega),$$

A SELF-CONSISTENT TREATMENT OF HUBBARD MODEL FOR THE ANTIFERRO-MAGNETIC CASE

と表わせる。ここで $\rho(\epsilon_k)$ は $U=0$ のときの tight binding な band の状態密度である。 $\mathcal{G}(\epsilon_k)$ は

$$\mathcal{G}(\epsilon_k, \omega) = \frac{1}{(\frac{H}{F})^2 - \epsilon_k^2},$$

で与えられる \mathcal{G}_{ln} の Fourier 変換である。次に

$$\sigma U \sum_{il} t_{il} \mathcal{G}_{ln} \langle n_i \rangle = \sigma U \int d\epsilon_k \rho(\epsilon_k) \cdot \mathcal{G}(\epsilon_k, \omega) \cdot \langle c_{k\downarrow}^{B\dagger} c_{k\downarrow}^A \rangle$$

と表わす。paramagnetic な場合は $\sigma=0$ だからこの量は零となる。

$u \gg |t_{ij}|$ のときは

$$O(\langle n_{k\downarrow}^A \rangle - r) = O(e^{-U/2T}),$$

のオーダーであり、温度 T が U に比べて小さいときは無視できる。一般の場合に無視出来るとは勿論言えないが、今 (47) の右辺第二項を無視してみよう。

すると結果は compact にまとまって

$$(47)' \quad (\omega - \alpha U - \Omega_A) \langle iil \rangle = (\alpha r U - \sigma(\Omega_1 + \Omega_2)) \langle il \rangle,$$

$$(48)' \quad (\omega - r U - \Omega_B) \langle lll \rangle = (\alpha r U + \sigma(\Omega_1 + \Omega_2)) \langle ll \rangle,$$

$$(45)' \quad \Omega_1 = \sum_{ln} t_{il} \left(\frac{H}{\omega - \alpha U} \right) \mathcal{G}_{ln} t_{ni}, \quad \Omega_2 = \sum_{ln} t_{il} \left(\frac{H}{\omega - r U} \right) \mathcal{G}_{ln} t_{ni},$$

$$(46)' \quad \Omega_A = 2\Omega_1 + \Omega_2, \quad \Omega_B = 2\Omega_2 + \Omega_1,$$

ここで (45)' において $\left(\frac{H}{\omega - \alpha U} \right) \mathcal{G}_{ln}$ を今から求めるべき Green 関数

$\ll c_{l\uparrow}^B; c_{n\uparrow}^{B\dagger} \gg_\omega \equiv G_{ln}^\uparrow(\omega)$ であるという拡張を行う。 A, B と \uparrow, \downarrow を同

時に入れ換えると系は不変であるから (この事は (46) で既に用いている)

(47)', (48)' を (5)', (6)' に代入すれば self-consistent に解くべき方程式を得る。即ち Fourier 変換して Bloch 表示に移ると

$$(49) \quad \langle A\uparrow | \rangle \equiv \ll c_{k\uparrow}^A; c_{k\uparrow}^{A\dagger} \gg_\omega, \\ \langle B | \rangle \equiv \ll c_{k\uparrow}^B; c_{k\uparrow}^{A\dagger} \gg = \ll c_{k\downarrow}^B; c_{k\downarrow}^{A\dagger} \gg,$$

$$(50) \quad \langle A \downarrow | \rangle \equiv \ll c_{k\downarrow}^A; c_{k\downarrow}^{A+} \gg \omega,$$

とおくと,

$$(51) \quad \begin{bmatrix} (\omega - rU)(\omega - \alpha U - \Omega_A) - \alpha rU^2 + \sigma U(\Omega_1 + \Omega_2), & \epsilon_k(\omega - \alpha U - \Omega_A) \\ -\epsilon_k(\omega - rU - \Omega_B), & (\omega - \alpha U)(\omega - rU - \Omega_B) - \alpha rU^2 - \sigma U(\Omega_1 + \Omega_2) \end{bmatrix} \begin{bmatrix} \langle A \uparrow | \rangle \\ \langle B | \rangle \end{bmatrix} \\ = \begin{bmatrix} \omega - \alpha U - \Omega_A \\ 0 \end{bmatrix},$$

$$(52) \quad \begin{bmatrix} (\omega - \alpha U)(\omega - rU - \Omega_B) - \alpha rU^2 - \sigma U(\Omega_1 + \Omega_2), & -\epsilon_k(\omega - rU - \Omega_B) \\ -\epsilon_k(\omega - \alpha U - \Omega_A), & (\omega - rU)(\omega - \alpha U - \Omega_A) - \alpha rU^2 + \sigma U(\Omega_1 + \Omega_2) \end{bmatrix} \begin{bmatrix} \langle A \downarrow | \rangle \\ \langle B | \rangle \end{bmatrix} \\ = \begin{bmatrix} \omega - rU - \Omega_B \\ 0 \end{bmatrix},$$

$$(53) \quad \Omega_1 = \sum_{im} t_{li} G_{im}^{\downarrow} t_{ml}, \quad \Omega_2 = \sum_{im} t_{li} G_{im}^{\uparrow} t_{ml},$$

$$(54) \quad \Omega_A = 2\Omega_1 + \Omega_2, \quad \Omega_B = 2\Omega_2 + \Omega_1.$$

但し, $G_{im}^{\sigma} \equiv \ll c_{i\sigma}^A; c_{m\sigma}^{A+} \gg \omega$ とおいた。

§ 3. Self-consistent な解, (数値計算)

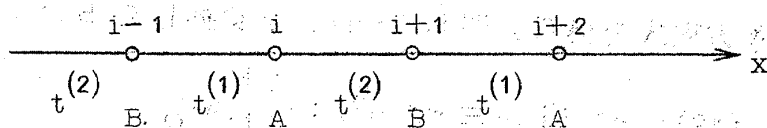
具体的計算に入る前に

§ 1 で述べた Bond -

alternation を入れる

事を考慮する。先づ一次

元の場合は第 2 図に示し

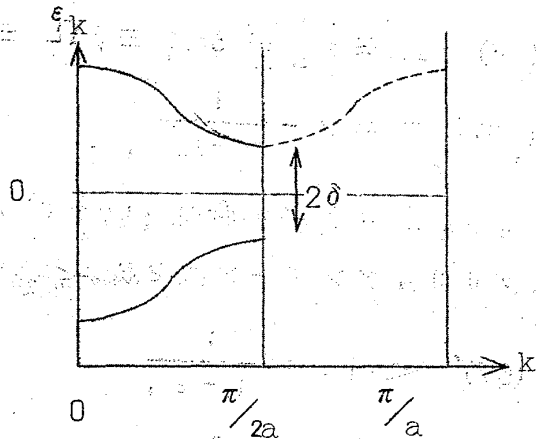


第 2 図

A SELF-CONSISTENT TREATMENT OF HUBBARD MODEL FOR THE ANTIFERRO-MAGNETIC CASE

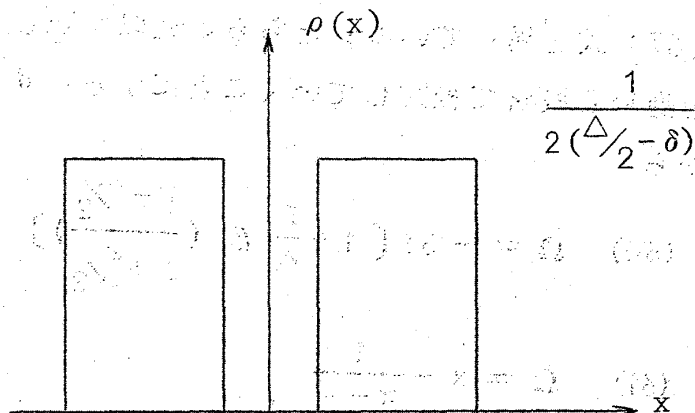
たように交互に transfer t_{ij} の大きさが変っているとす。今 $|t^{(1)}| > |t^{(2)}|$ とし, $\delta = |t^{(1)}| - |t^{(2)}|$ とおくと第2図のように格子点をやはり A, B sublattice に分けることが出来て A-sublattice では正の方向の $|t_{ij}|$ が大きく負の方向では小さい。B-sublattice からみるとこの逆である。 $t_{ij} = t \pm \delta$ とおくと t_{ij} の Fourier 変換は i が A に属するか B のものかによって $\epsilon_k = 2t \cos k \cdot a \pm i\delta \sin ka$ となる。(a: 格子定数)。明らかに Green 関数には $\epsilon_k \cdot \epsilon_k^*$ の形でのみ入ってくるから $\omega^2 - |\epsilon_k|^2 = 0$ の根は容易に解るように 2δ の gap を持った絶縁体となる。(第3図) この

事は3次元にも容易に拡張できることが例えば単純立方格子の場合に証明できて, このとき $\epsilon_k \epsilon_k^* = (2t)^2 [\cos k_x a + \cos k_y a + \cos k_z a]^2 + \delta^2 [\sin k_x a + \sin k_y a + \sin k_z a]^2$ となる。状態密度に発散がなければその細かい形の違いは本質的でない事が後の数値計算で確かめられるため bond alternation の効果は gap を持つ状態密度を導入してとり入れることが出来る。



第 3 図

以下の計算では $\delta = 0$ も含めて第4図の形の状態密度を仮定する。これで band の状態密度が定義できたためいよいよ (51) ~ (54) を解くことを実行する。先づ paramagnetic な場合から考えてみよう。



第 4 図

- 1) paramagnetic solution

以降の計算ではエネルギー

の原点を $\frac{U}{2}$ に移し, 単位を $\frac{U}{2}$ で scale して議論を進める。即ち,

$$(55) \quad (\omega - \frac{U}{2}) \frac{2}{U} \equiv x,$$

$$(56) \quad \pm \sqrt{|\epsilon_k|^2} \cdot \frac{2}{U} \equiv \epsilon,$$

と表わす。(51) ~ (54) から容易に

$$(57) \quad \langle A | \rangle \equiv \langle A \uparrow | \rangle \equiv \langle A \downarrow | \rangle = \frac{F}{F^2 - \epsilon^2},$$

$$(58) \quad \Omega_A \equiv \Omega_B \equiv 3\Omega_1 \equiv 3\Omega_2 \equiv \Omega \equiv 3 \int d\epsilon \rho(\epsilon) \epsilon^2 \langle A | \rangle,$$

$$(59) \quad F = x - \frac{1}{x - \Omega},$$

を得る。 $\delta = 0$ の場合は (57) は A, B, sublattice に分けた意味を失うためブリリユアンゾーンは 2 倍に拡がって

$$(57)' \quad \langle A | \rangle = \frac{1}{F - \epsilon},$$

$$(59)' \quad F = x - \frac{1}{x - \Omega},$$

となる。(57)', (59)' は実は HIII の (58), (65), (66) 式と全く同一のものである。違いは self-consistent な条件式 (58) が HIII の (60), (67) 式と異っている。どちらの近似か正しいかは直ちには決め難いが, 計算を進める段階で検討していくことにする。 $\delta = 0$ の場合 (58), (57)', (59)' から

$$(60) \quad \Omega = -3F \left[1 + \frac{F}{\Delta} \ln \left(\frac{F - \frac{\Delta}{2}}{F + \frac{\Delta}{2}} \right) \right],$$

$$(61) \quad \Omega = x - \frac{1}{x - F},$$

(60), (61) は実は $x = 0$ では解析的にある程度の議論が行えるためそれを実行する。先づ (58), (57)', (59)' から band が対称であれば $\Omega(x) \equiv \Omega'(x) - i\Omega''(x)$ とおいたとき $\Omega'(-x) = -\Omega'(x)$, $\Omega''(-x) = \Omega''(x)$, 従って $F(x) = F'(x) + iF''(x)$ とおいて $F'(-x) = -F'(x)$, $F''(-x) =$

A SELF-CONSISTENT TREATMENT OF HUBBARD MODEL FOR THE ANTIFERRO-MAGNETIC CASE

$F''(x)$ なることが確められる。このことから $F'(0)=0$, $\Omega'(0)=0$ とおけるから $\Omega(0)=-iY$ とおいて $x=0$ で (60) 式を書き直すと

$$-iY = -\frac{3i}{Y} \left[1 + \frac{i}{Y\Delta} \ln \left(\frac{1/Y - \Delta/2}{1/Y + \Delta/2} \right) \right],$$

$$Y^2/3 = 1 - \frac{2}{Y\Delta} \tan^{-1} \left(\frac{Y\Delta}{2} \right).$$

この式で $Y \neq 0$ の実根が存在する条件を求めてみよう。それには Y について展開してみればよい。 Y^4 の項まで展開すると

$$Y^2/3 \left\{ \left(\frac{\Delta}{2} \right)^2 Y^2 - \left[\left(\frac{\Delta}{2} \right)^2 - 1 \right] \right\} = 0,$$

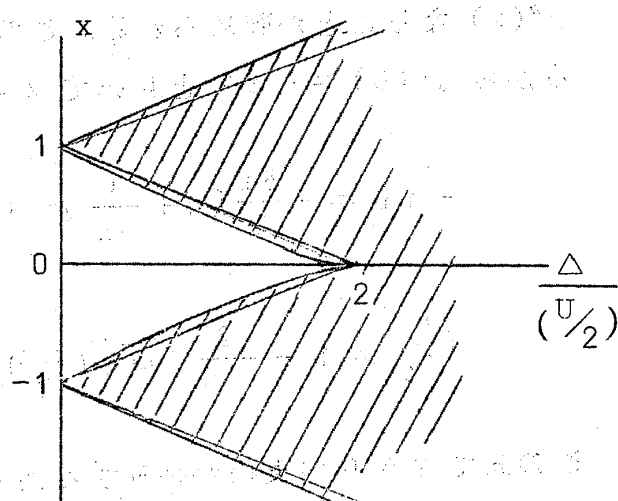
となり, $\Delta > 2$ で $Y \neq 0$ の根が存在する。このことは $\Delta > 2 (=U)$ の band 巾では Fermi 面での状態密度が有限になる。即ち金属—絶縁体間の転移を示すを顕証している。HIII でここでの状態密度を用いると転移の band 巾は同様に $\Delta_c = 2$ となる結果を得る。

さて (60), (61) の複素超越方程式が一般に唯一解を持つか否かは解析的には確められないが, 対数の branch を物理的な sheet にのみ限って実際数値計算により値を図示してみると唯一解のみ存在するらしいことが確められた。適当な初期値を与えて iteration によって解かせても物理的に妥当な値以外の解に到達した事は未だ一度もないし, こうして得た解を用いて sum rule 即ち粒子数の平均値を計算するとほぼ要求した精度の範囲でこの sum rule を満たしていることから他に解が存在するとは考えられない。具体的にその結果を第 5 図, 第 6 図に示した。第 5 図は横軸に band 巾をとり縦軸にエネルギーをとって状態密度が有限に存在する領域を示した。特徴的な事はこれまでの例^{3), 11)}と異り絶縁体側で band 巾が広がることである。第 6 図にはいくつかの band 巾を与えたときの状態密度を表したものである。bond alternation を考え第 4 図のような状態密度を仮定しても δ が小さいときは第 5 図, 第 6 図の様子は本質的には変わらないので図示は省略する。又 HIII と同様に楕円形の状

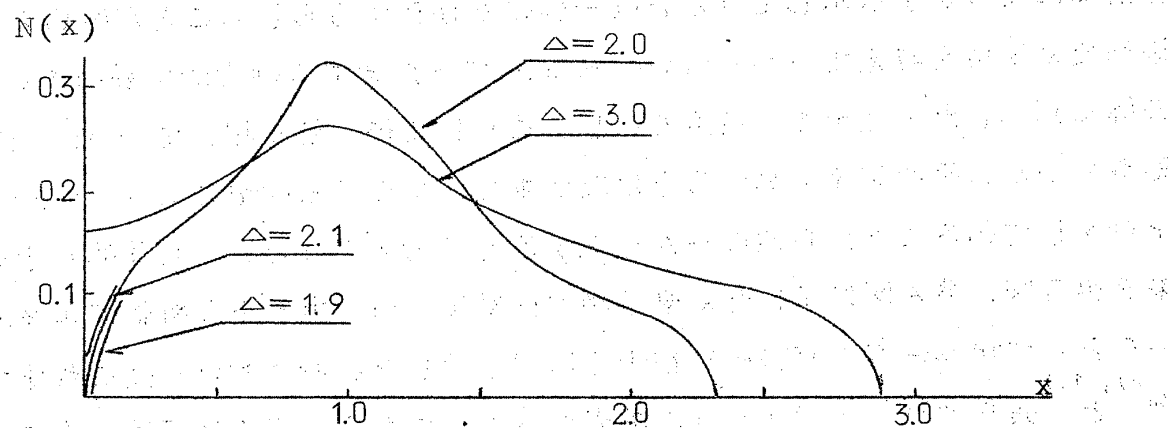
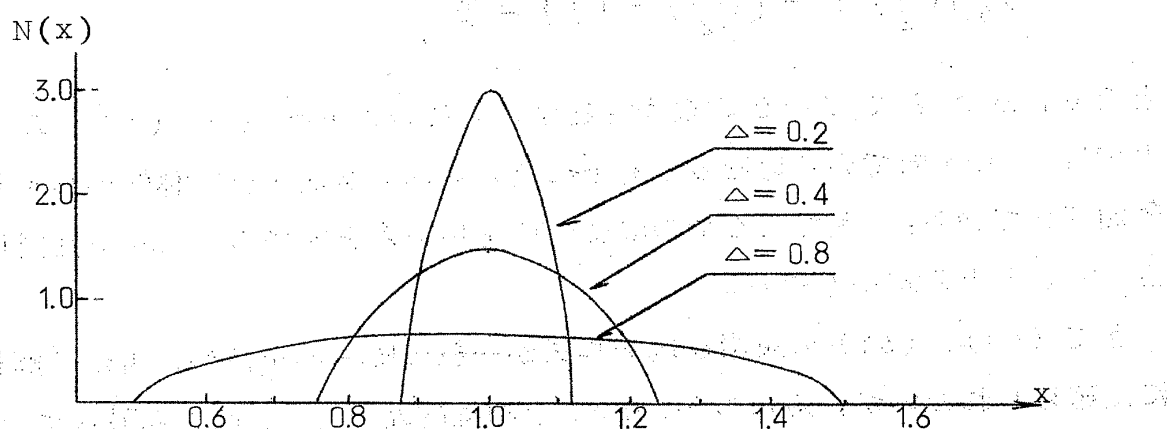
態密度を用いて計算すると結果は第5, 6図と類似の図が得られるため, 状態密度の細かい構造には本質的な構造は依存しない事が解った。

2 antiferromagnetic solution

反強磁性的状態が存在しうるか否かはその解が存在して常磁性的状態に比べてエネルギーを下げう



第 5 図



第 6 図

るか否かを調べなければならない。先づ解を求めることにする。(51)～(54)式から次の式が導かれる。

$$(62) \quad \langle A\uparrow | \rangle = \frac{x - \sigma - (1 - \sigma^2 + 2\sigma\bar{\Omega}) / (x + \sigma - \Omega_B)}{F_\sigma^2 - \epsilon^2}$$

$$(63) \quad \langle A\downarrow | \rangle = \frac{x + \sigma - (1 - \sigma^2 - 2\sigma\bar{\Omega}) / (x - \sigma - \Omega_A)}{F_\sigma^2 - \epsilon^2}$$

$$(64) \quad \bar{\Omega} = \Omega_1 + \Omega_2 = (\Omega_A + \Omega_B) / 3, \quad \Omega_A = 2\Omega_1 + \Omega_2, \\ \Omega_B = 2\Omega_2 + \Omega_1,$$

$$(65) \quad F_\sigma^2 = \left[x + \sigma - (1 - \sigma^2 - 2\sigma\bar{\Omega}) / (x - \sigma - \Omega_A) \right] \\ \times \left[x - \sigma - (1 - \sigma^2 + 2\sigma\bar{\Omega}) / (x + \sigma - \Omega_B) \right],$$

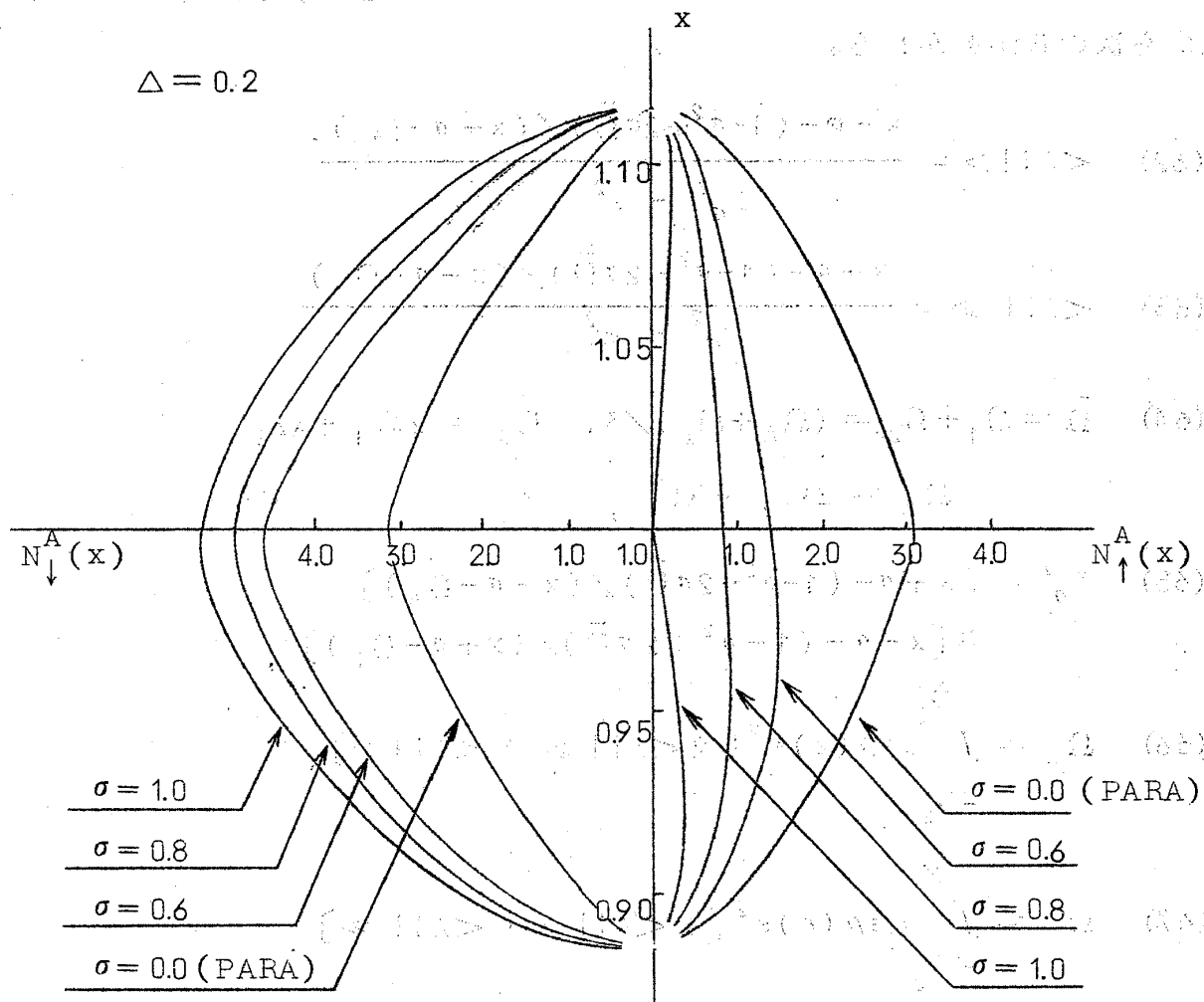
$$(66) \quad \Omega_A = \int_{-\Delta/2}^{\Delta/2} d\epsilon \rho(\epsilon) \epsilon^2 \left[2\langle A\downarrow | \rangle + \langle A\uparrow | \rangle \right],$$

$$(67) \quad \Omega_B = \int_{-\Delta/2}^{\Delta/2} d\epsilon \rho(\epsilon) \epsilon^2 \left[2\langle A\uparrow | \rangle + \langle A\downarrow | \rangle \right].$$

(62)～(67)の連立複素超越方程式を先づ σ の値を与えて解いてみると確かにその解は得られて状態密度 $N_\uparrow^A(x)$, $N_\downarrow^A(x)$ は、例えば $\Delta=0.2$ の場合第7図のように求まる。

さて self-consistent な解が存在するためには第7図の $N_\downarrow^A(x)$ と $N_\uparrow^A(x)$ の面積の差が与えた σ の値に等しくなるような σ が絶対零度で存在しなければならない。このことを確かめるために σ を横軸にとり縦軸に $\langle \sigma \rangle = \int dx [N_\downarrow^A(x) - N_\uparrow^A(x)]$ として $\langle \sigma \rangle$ をとったのが第8図である。図から明らかのように $\langle \sigma \rangle = \sigma$ の直線と交わるような σ の値はどうしても存在し得ないことが判明した。 $\langle \sigma \rangle = \sigma$ の直線からのずれは band 巾 Δ が大きい程著しく、この事は band 巾が大きい程近似が増々悪くなっている事を意味する。bond alternation の効果を入れるとこの直線からのずれは増々大きくなるという結果を得る。この結果は反強磁性的状態を議論するためには HIII の近似は本

末崎幸生

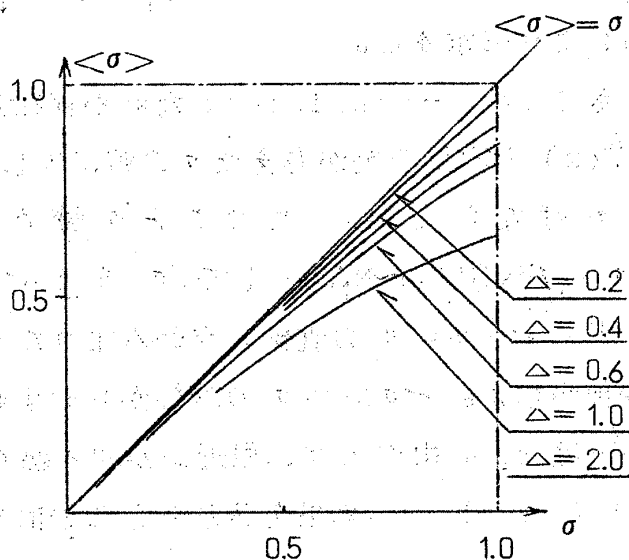


第 7 図. (反強磁性の状態密度)

質的に欠陥があるという事である。

§ 4. 結 論

Hubbard model の反強磁性の状態を想定して 1 体の Green 関数に対する方程式をたて、高次の hierarchy を追求し、高次の段階で RPA 的 deconpling を行って self-consis-



第 8 図

A SELF-CONSISTENT TREATMENT OF HUBBARD MODEL FOR THE ANTIFERRO-MAGNETIC CASE

stentな方程式を得た。これは連立又は単個の複素超越方程式であるが、その解は存在するが結局反強磁性的状態は得ることが出来なかった。然し常磁性の極限をとった解から Hubbard と同様に金属絶縁体転移が全く類似の形で求まった。Hubbard のものと self-consistency の条件が異なるが band 巾が小さいとき Hubbard model が site 当り電子1個の場合には、反強磁性的基底状態にあると考えるのが妥当と思われるので、この条件については彼我の是非は何とも言い難いと思う。

bond alternation の効果を考えたのは初めから band の第1 Brillouin zone を体積が半分になってしまい H_{III} での元の第1 Brillouin zone を全て占拠した1価の絶縁体という観測されていない不明確な Fermi 面の困難が避けられると考えたからである。それについてここで思い切った想像をするならば純粋に Academic な興味の対象としての Hubbard model は別として、実在の coulomb 相関の強い物質では bond alternation を起して電子系のエネルギーを $-C\delta$ ($C > 0$) だけ得をして格子が歪んだための弾性エネルギー、 $B\delta^2/2$ の損失とかね合った平衡点で安定な系を構成しているのではないかという事である。Adler, Brooks¹⁰⁾ の議論と異なり coulomb 相関エネルギーが重要な役割を演じてからんでくると考える訳である。順序が逆になったがこの相関をハートレーホック近似で考慮に入れることは現在計算中であり、別の機会に述べる。

最後にこの仕事を進めるに当り基研の小額計算費の援助を受け、九大、及び東大計算センターの計算機を使用させていただいたことに感謝します。又、有益な助言をして下さった森先生、中嶋先生、都築先生、福山、黒田、栗原及び九大理研究室の皆さんに感謝します。数値計算を手伝って下さった末包嬢、原稿作成を担当して下さいました久保嬢に謝意を表します。

Appendix A

(23) ~ (28) で出現した hierarchy の最も高い段階の Green 関数 $\langle im | \rangle$, $\langle ln | \rangle$, $\langle imil | \rangle$, $\langle miil | \rangle$, $\langle lnll | \rangle$, $\langle nlll | \rangle$ についてその運動を調べる。

先づ $\langle im | \rangle$ については

$$(A1) \quad \omega \langle n_{i\downarrow} c_{m\uparrow} | \rangle = r \delta_{mi} + U \langle n_{i\downarrow} n_{m\downarrow} c_{m\uparrow} | \rangle + \sum_n t_{mn} \langle n_{i\downarrow} c_{n\uparrow} | \rangle,$$

$$(A2) \quad \omega \langle m | \rangle = \delta_{mi} + U \langle n_{m\downarrow} c_{n\uparrow} | \rangle + \sum_n t_{mn} \langle n | \rangle.$$

(A1) ~ (A2) $\times r$ より

$$(A1)' \quad \omega \langle im | \rangle = U \langle imm | \rangle - r U \langle mm | \rangle + \sum_n t_{mn} \langle in | \rangle,$$

$$(A3) \quad \begin{aligned} \omega \langle n_{i\downarrow} n_{m\downarrow} c_{m\uparrow} | \rangle &= r^2 \delta_{mi} + U \langle n_{i\downarrow} n_{m\downarrow} c_{m\uparrow} | \rangle \\ &\quad + \sum_n t_{mn} \langle n_{i\downarrow} n_{m\downarrow} c_{n\uparrow} | \rangle \\ &\cong r^2 \delta_{mi} + U \langle n_{i\downarrow} n_{m\downarrow} c_{m\uparrow} | \rangle \\ &\quad + r \sum_n t_{mn} [\langle n_{i\downarrow} c_{n\uparrow} | \rangle + \langle n_{m\downarrow} c_{n\uparrow} | \rangle] \end{aligned}$$

(A3) ~ (A2) $\times r^2$ より

$$(A4) \quad \begin{aligned} (\omega - U) \langle imm | \rangle &= -r^2 U \langle mm | \rangle + \alpha r^2 U \langle m | \rangle + r^2 \sum_n t_{mn} \langle n | \rangle \\ &\quad + r \sum_n t_{mn} [\langle in | \rangle + \langle mn | \rangle]. \end{aligned}$$

(A1)' に (A4) を代入して

$$(A5) \quad \begin{aligned} \langle im | \rangle &= \frac{1}{H} \{ -r U (\omega - \alpha U) \langle mm | \rangle + \alpha r^2 U^2 \langle m | \rangle \\ &\quad + (\omega - \alpha U) \sum_n t_{mn} \langle in | \rangle + r U \sum_n t_{mn} \langle mn | \rangle \\ &\quad + r^2 U \sum_n t_{mn} \langle n | \rangle \}. \end{aligned}$$

同様にして

$$(A6) \quad \begin{aligned} \langle ln | \rangle &= \frac{1}{H} \{ -\alpha U (\omega - r U) \langle nn | \rangle + \alpha^2 r U^2 \langle n | \rangle \\ &\quad + (\omega - r U) \sum_m t_{nm} \langle lm | \rangle + \alpha U \sum_m t_{nm} \langle nm | \rangle \\ &\quad + \alpha^2 U \sum_m t_{nm} \langle m | \rangle \}. \end{aligned}$$

次に $\langle imil \rangle$ について計算する。

$$(A7) \quad \omega \langle imil \rangle = \delta_{ii} \langle im \rangle + U \langle c_{i\downarrow}^+ n_{m\uparrow} c_{m\downarrow} c_{i\uparrow} | \rangle + \sum_n t_{mn} \langle inil \rangle,$$

A SELF-CONSISTENT TREATMENT OF HUBBARD MODEL
FOR THE ANTIFERRO-MAGNETIC CASE

$$(A8) \quad (\omega - U) \langle c_{i\downarrow}^+ n_{m\uparrow} c_{m\downarrow} c_{i\uparrow} | \rangle = \delta_{ii'} \langle c_{i\downarrow}^+ c_{m\downarrow} n_{m\uparrow} | \rangle$$

$$+ \sum_n t_{mn} \langle c_{i\downarrow}^+ n_{m\uparrow} c_{n\downarrow} c_{i\uparrow} | \rangle$$

$$\cong \alpha [\delta_{ii'} \langle im \rangle + \sum_n t_{mn} \langle inil \rangle] \quad (34)$$

(A8) を (A7) に代入して

$$(A9) \quad \langle imil \rangle = \left(\frac{\omega - rU}{H} \right) [\delta_{ii'} \langle im \rangle + \sum_n t_{mn} \langle inil \rangle], \quad (35)$$

を得るが同様にして

$$(A10) \quad \langle miil \rangle = \left(\frac{\omega - \alpha U}{H} \right) [\delta_{ii'} \langle mi \rangle - \sum_n t_{mn} \langle niil \rangle], \quad (36)$$

$$(A11) \quad \langle \ell n \ell | \rangle = \left(\frac{\omega - \alpha U}{H} \right) \sum_m t_{nm} \langle \ell m \ell | \rangle, \quad (37)$$

$$(A12) \quad \langle n \ell \ell | \rangle = - \left(\frac{\omega - rU}{H} \right) \sum_m t_{nm} \langle m \ell \ell | \rangle. \quad (38)$$

(A5), (A6), (A9) ~ (A12) を (23) ~ (28) に代入して (31) ~ (36) を得る。

Appendix B

(31)' ~ (36)' は

$$(B1) \quad X_\ell(i) = \left(\frac{F}{H} \right)^2 [Y_\ell(i) + \sum_{mn} t_{\ell m} t_{mn} X_n(i)],$$

$$(B1)' \quad X_i'(\ell) = \left(\frac{F}{H} \right)^2 [Y_i'(\ell) + \sum_{nm} t_{in} t_{nm} X_m'(\ell)],$$

の形の方程式に書くことが出来る。

(31)', (33)', (34)' は (B1) の形 (32)', (35)', (36)' は (B2) の形となる。即ち, (31)', (33)', (34)' については各

$$(B2) \quad X_\ell(i) = \langle i \ell | \rangle, \quad Y_\ell(i) = \left(\frac{H}{\omega - \alpha U} \right) t_{\ell i} \langle i i | \rangle,$$

$$(B3) \begin{cases} X_\ell(i) = \langle i\ell i | \rangle, \\ Y_\ell(i) = \left(\frac{H}{\omega - \gamma U}\right) [\delta_{ii'} \langle i\ell \rangle + t_{\ell i} (\langle i\ell i | \rangle - \sigma \langle i | \rangle)] \\ \quad + \sum_{m(\neq i)} t_{\ell m} \langle im \rangle \delta_{ii'}, \end{cases}$$

$$(B4) \begin{cases} X_\ell(i) = \langle \ell i i | \rangle, \\ Y_\ell(i) = \left(\frac{H}{\omega - \alpha U}\right) [\delta_{ii'} \langle \ell i \rangle - t_{\ell i} (\langle i\ell i | \rangle - \sigma \langle i | \rangle)] \\ \quad - \sum_{m(\neq i)} t_{\ell m} \langle mi \rangle \delta_{ii'}, \end{cases}$$

となり (32)', (35)', (36)' については

$$(B5) \quad X_i'(\ell) = \langle \ell i | \rangle, \quad Y_i'(\ell) = \left(\frac{H}{\omega - \gamma U}\right) t_{i\ell} \langle \ell \ell | \rangle,$$

$$(B6) \begin{cases} X_i'(\ell) = \langle \ell i \ell | \rangle, \\ Y_i'(\ell) = \left(\frac{H}{\omega - \alpha U}\right) t_{i\ell} [\langle \ell \ell | \rangle + \sigma \langle \ell | \rangle], \end{cases}$$

$$(B7) \begin{cases} X_i'(\ell) = \langle i \ell \ell | \rangle, \\ Y_i'(\ell) = - \left(\frac{H}{\omega - \gamma U}\right) t_{i\ell} [\langle \ell \ell | \rangle + \sigma \langle \ell | \rangle]. \end{cases}$$

今次の関数を導入する。

$$(B8) \quad \mathcal{S}_{n'n} = \frac{1}{N} \sum_{\underline{q}} \frac{e^{i\underline{q} \cdot \underline{R}_{n'n}}}{\left(\frac{H}{F}\right)^2 - \epsilon_{\underline{q}}^2},$$

$$(B8)' \quad \mathcal{S}_{m'm} = \frac{1}{N} \sum_{\underline{q}} \frac{e^{i\underline{q} \cdot \underline{R}_{m'm}}}{\left(\frac{H}{F}\right)^2 - \epsilon_{\underline{q}}^2}.$$

(B8) $\times t_{\ell m} t_{mn'}$ として m, n' について和をとると

$$\sum_{mn} t_{\ell m} t_{mn'} \mathcal{S}_{n'n} = \frac{1}{N} \sum_{\underline{q}} \sum_{mn} t_{\ell m} t_{mn'} \frac{e^{i\underline{q} \cdot \underline{R}_{n'n}}}{\left(\frac{H}{F}\right)^2 - \epsilon_{\underline{q}}^2},$$

A SELF-CONSISTENT TREATMENT OF HUBBARD MODEL
FOR THE ANTIFERRO-MAGNETIC CASE

$$= -\delta_{\ell n} + \left(\frac{H}{F}\right)^2 \mathcal{S}_{\ell n}.$$

上式を変形して

$$(B9) \quad \mathcal{S}_{\ell n} = \left(\frac{F}{H}\right)^2 \left[\delta_{\ell n} + \sum_{mn'} t_{\ell m} t_{mn'} \mathcal{S}_{n'n} \right].$$

(B9) $\times Y_n(i)$ として n について和をとると

$$(B10) \quad \sum_n \mathcal{S}_{\ell n} Y_n(i) = \left(\frac{F}{H}\right)^2 \left[Y_\ell(i) + \sum_{mn} t_{\ell m} t_{mn} \left\{ \sum_n \mathcal{S}_{nn'} Y_{n'}(i) \right\} \right].$$

(B10) 式で $\sum_n \mathcal{S}_{\ell n} Y_n(i) = X_\ell(i)$ とおくと (B10) は明らかに (B1) と同値である。即ち (B1) の解は

$$(B11) \quad X_\ell(i) = \sum_n \mathcal{S}_{\ell n} Y_n(i),$$

となり (B2) の解は同様に

$$(B12) \quad X'_i(\ell) = \sum_m \mathcal{S}_{im} Y'_m(\ell),$$

と表わせる。HIII の解法との本質的違いは A, B sublattice に分けたために HIII の (30) 及び (A5) 式で表わされる self-consistent な条件が異ることである。(B11), (B12) に (B2) ~ (B7) を代入して整理すると (39) ~ (44) を得る。

参 考 文 献

- 1) J. Hubbard, Proc. Roy. Soc. A, 276 (1963), 238
- 2) J. Hubbard, Proc. Roy. Soc. A, 285 (1964), 401
- 3) M.C. Gutzwiller, Phys. Rev. 134 (1964) 923,
M.C. Gutzwiller, Phys. Rev. 137 (1965) 1726,
D.R. Penn, Phys. Rev. 142 (1966) 350,
Y. Nagaoka, Phys. Rev. 147 (1966) 392 and L.M. Roth,
Phys. Rev. 184 (1969) 451
- 4) E.M. Lieb and F.Y. Wu, Phys. Rev. Lett. 20 (1968) 1445

末崎幸生

- 5) D.B.McWhan, T.M.Rice and J.P.Remeika, Phys. Rev. Lett. 23 (1969) 1384
- 6) T.A.Kaplan and P.N.Argyres, International Journ. Quantum Chem. 3 (1970) 851
- 7) M.Cyrot, Phys. Rev. Lett. 25 (1970) 871
- 8) W.F.Brinkman and T.M.Rice, preprint
- 9) C.Herring, Magnetism 4 Edited by G.T.Rado and H.Suhl, Academic press.
- 10) D.Adler and H.Brooks, Phys. Rev. 155 (1967) 826
- 11) A.B.Harris and R.V.Lauge, Phys. Rev. 157 (1967) 295
- 12) D.B.McWhan, T.M.Rice and J.P.Remeika. Phys. Rev. Lett. 23 (1969) 1384